

Cartógrafo.CL/02-2021



## Óscar Figueroa Ulloa

Cartógrafo Máster en Análisis y Prevención del Crimen.





oscarenrique.figueroa@gmail.com

# Perfilamiento geográfico de agresores sexuales Análisis de casos

## **RESUMEN**

El perfilamiento geográfico es una técnica de investigación criminal; su principal objetivo es identificar el lugar de residencia o base de operaciones de criminales seriales, permitiendo acotar las zonas de búsqueda de un delincuente, como asimismo priorizar líneas de investigación cuando existen varios sospechosos.

El objetivo de esta investigación es mostrar la utilidad que tienen los geoperfiles para investigar delitos seriales, a través del perfilamiento retrospectivo de tres delincuentes detenidos por ataques sexuales seriales en la Región Metropolitana de Santiago de Chile, entre los años 2010-2019.

Los resultados muestran que el perfilamiento geográfico es una herramienta muy útil para identificar criminales seriales, permitiendo reducir las zonas de búsquedas de sospechosos y facilitando la identificación de su domicilio o área de operaciones.

# INTRODUCCIÓN

El perfilamiento geográfico ha tenido grandes avances en el mundo occidental, especialmente en los policías y analistas criminales de los Estados Unidos de América, Canadá y Europa, constituyéndose en un importante complemento a otras técnicas de investigación criminal (Rossmo & Summers, 2015).

El perfilamiento geográfico o geoperfil se utiliza para la investigación de un delito serial, mediante la ubicación geográfica de estos. Lo que permite identificar la zona más probable de residencia del delincuente o donde ha establecido su base de operaciones, a través de algoritmos matemáticos y teorías medioambientales (Rossmo, 2000; Rossmo & Summers, 2015). El lugar de ocurrencia de un delito no es aleatorio (Brantingham & Brantingham, 1993; 1995), su elección está condicionada por aspectos subjetivos espaciales en forma de mapas mentales. Este geoperfil permite identificar un patrón que, aunque no es predictivo del lugar de ocurrencia del próximo delito, permite conocer el lugar de su residencia o base de operaciones del delincuente.

El perfilamiento geográfico es una técnica de análisis criminal, que sumado a otras técnicas policiales, permite al analista generar líneas de investigación, posibilitando la toma de decisiones basada en evidencia, como ocurre al reducir el área geográfica de la búsqueda de un sospecho o dar prioridad a la búsqueda de un determinado sujeto (Rossmo & Summers, 2015).

Este tipo de técnica se basa en la criminología ambiental, la cual explica las interacciones espaciales que se producen en torno al delito (Capone & Nichols, 1976). Los criminólogos de la Escuela de Chicago indicaron que, durante muchos años, la criminología estaba basada en aspectos sociológicos y psicológicos (Felson & Clarke, 1998), pero había poca investigación en lo relacionado con el espacio geográfico donde se cometían los delitos, de ahí surgen las Teorías Criminológicas de las Actividades Rutinarias (Cohen & Felson, 1979), Patrones Delictivos (Brantingham & Brantingham, 1993; 1995), Círculos de Canter (Canter, 1996; Canter & Gregory, 1994; Canter & Larkin, 1993) y la Teoría de la Elección Racional (Clarke & Felson, 1993; Cornish & Clarke, 1987), las cuales constituyen la base para el perfilamiento geográfico.

interacción espacial plantea una hipótesis

fundamental de la geografía: lo que sucede en un lugar tiene impacto sobre otro lugar diferente; esta interacción implica acción y reacción (Pumain & Saint-Julien, 2010). Además, el comportamiento delictual es producto de una interacción entre la persona y su entorno físico cuya observación puede ser a diferentes escalas (Felson & Clarke, 1998). Esta relación se evidencia en las distancias entre los actores y lugares: a medida que disminuye las distancia entre ellos, disminuye también la intensidad y frecuencia de las interacciones. Este es el principio de Teoría del Decaimiento Espacial que indica que a medida que el delincuente se aleja de su domicilio, la probabilidad

Los delitos no ocurren en forma aleatoria en el territorio, pues los individuos se mueven en el espacio y tiempo formando patrones de movilidad. La Teoría de los Patrones Delictivos identifica tres principales conceptos: nodos, rutas y límites (Brantingham & Brantingham, 1993; 1995). Los nodos corresponden al lugar desde donde y hacia donde se trasladan las personas, en dichos lugares se

de cometer un delito disminuye (Brantingham & Brantingham, 1993; 1995).



Imagen referencial.

comenten delitos así como también en áreas cercanas a este. Por ejemplo, un centro comercial genera al interior delitos de hurto desde las tiendas y en su exterior delitos de robos de vehículos en los estacionamientos. Las rutas desde un lugar a otro, en las actividades diarias de las personas, se realizan de acuerdo con patrones de percepciones espaciales que estos tienen; mientras que los límites del territorio que abarca la acción criminal permiten diferenciar a los delincuentes "propios" de los "extraños". Los propios cometen delitos cerca de su lugar de residencia y los extraños lo realizan en los límites exteriores fuera de su domicilio (Felson & Clarke, 1998).

Los mapas mentales son imágenes cognitivas de áreas familiares como barrios o ciudades, formados a partir de las sucesivas interacciones de una persona con su alrededor (Canter 1994; Canter, 1996; Canter & Gregory, 1994; Canter & Larkin, 1993). En la misma línea de trabajo, Goodall (1987) los define como la representación espacial del ambiente que un individuo tiene en su mente, referencias espaciales que se basan en hitos, pudiendo así delimitar zonas y crear espacios de confort, donde las personas se puedan mover de forma segura y eficiente a través del territorio.

De acuerdo con Cadwallader (1976), los mapas cognitivos influyen en tres características de decisiones, la primera es la decisión de estar en un sitio o de irse, la segunda es a dónde ir, y la tercera qué ruta tomar para desplazarse. Estos mapas mentales o cognitivos pueden incluir dimensiones no espaciales, tales como sonidos, iluminación, sensaciones y simbolización, las cuales son el resultado del procesamiento de información, la que es recibida, codificada, almacenada, recordada, descodificada e interpretada (Brantingham & Brantingham, 1993; 1995).

En este orden, la Teoría de Círculo tiene como premisa que los criminales cometen delitos en las zonas que conocen, por lo cual los crímenes ejecutados se sitúan al interior de un círculo territorial delimitado y lo más probable es que el domicilio o base de operaciones del delincuente se encuentre dentro de dicho círculo. Esto lo fundamenta Canter en su hipótesis de la consistencia delictiva, la que establece que los delincuentes actúan en forma consistente durante el tiempo y en diferentes situaciones, por lo que la forma en cómo se realizan los delitos dependerá de un patrón delictual estable. Esta hipótesis tiene dos partes: la consistencia interpersonal que se relaciona con interacción víctima–victimario y una consistencia espacial que establece el área geográfica en la que se comente el delito, interacción que se mantiene de manera continua, mientras no cambien las motivaciones del delincuente, tanto desde el punto de vista psicológico como espacial, posibilitándose así conocer rasgos y comportamiento delictual (Canter, 1996; Canter & Gregory, 1994; Canter & Larkin, 1993).

Canter en base a su teoría clasifica a los delincuentes en dos categorías: viajeros y merodeadores. Los viajeros se desplazan para cometer delitos en zonas distintas a las de sus domicilios o base, en cambio el delincuente merodeador se moviliza desde su base de operaciones o domicilio a sectores colindantes en forma radial, creando una zona de operaciones criminal.

En la Figura 1, se muestra el domicilio del agresor, las flechas indican el desplazamiento del delincuente, las zonas de seguridad o buffer donde el victimario

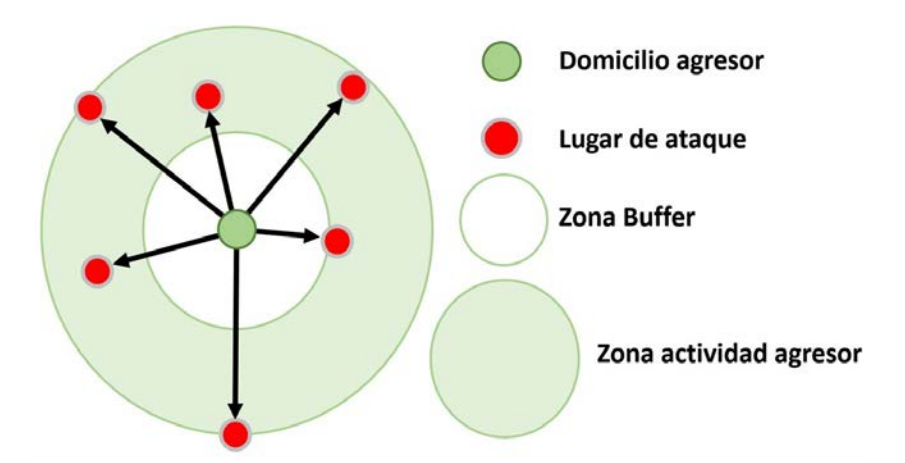


Figura 1. Círculos de Canter.

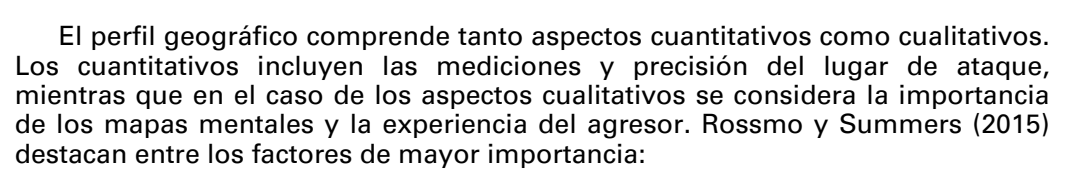
no actúa, los lugares de ataques y su zona de operaciones (Canter, 1994; Canter & Larkin, 1993).

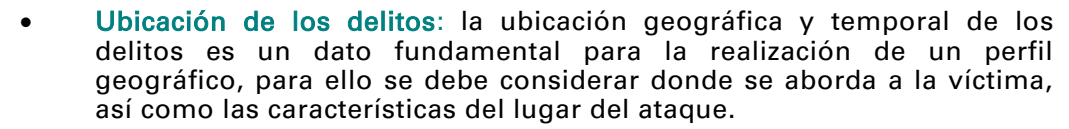
Los delincuentes por lo general comenten los delitos cerca de sus domicilios, siendo menor la probabilidad de que un delincuente cometa un delito a medida que se aleja de su lugar de residencia (Rossmo & Summers 2015), por lo que la probabilidad de delinquir se ajusta a la función de decaimiento de la distancia (distance decay, Figura 2), generando así una zona de seguridad que resulta ser contigua a su lugar de residencia denominada Buffer (Rossmo 2000).

En la Figura 3, se muestran las funciones más utilizadas para calcular el decaimiento de la distancia

(Levine, 2007; 2014), correspondientes a: lineal, exponencial negativa, lognormal, normal y exponencial negativa truncada. Estas funciones miden la probabilidad de cometer un crimen y la distancia en que se encuentran desde la escena del crimen (Salafranca, Rodríguez & Mateu, 2020).

Los delincuentes suelen cometer un delito dentro de un rango mínimo y máximo de distancia de su casa, independiente de la dirección y otras limitaciones físicas o psicológicas. El análisis del trayecto al lugar del delito (Journey to crime) es de suma importancia para investigadores delictuales, considerar el origen del trayecto, el destino, la ubicación del delito, la ruta, distancia y dirección que realiza el delincuente; además de aspectos temporales, tales como la hora, días de la semana, y momento de la noche o del día (Rengert, Piquero, & Jones, 1999), además de incluir el modo de desplazamiento, o si lo hace en solitario o acompañado (Bernasco, 2014). La evidencia indica que en la mayoría de los casos las distancias que recorren los delincuentes son por lo general cortas, especialmente en la perpetración de delitos violentos (Andresen, Frank, & Felson, 2014; Levine & Lee, 2009; Wiles & Costello, 2000).





- Tipo de delincuente: el tipo y número de delincuentes implicados influyen sobre las características geográficas del caso, ya que son múltiples los desplazamientos de los ofensores.
- Estilo de "caza" del delincuente: el modus operandi, que el delincuente utiliza para abordar a sus víctimas, influye en el patrón geográfico, ya que este se puede desplazar a lugares más cercanos o lejanos.
- Actividades cotidianas de las víctimas: las actividades diarias de las víctimas permiten detectar los movimientos de estas, pudiendo ayudar



Función de DISTANCE DECAY con zona de seguridad, que representan la probabilidad de que un individuo delinca en relación con la distancia a la que se encuentre de su domicilio

Figura 2. "Distance Decay" (Rossmo, 2000).

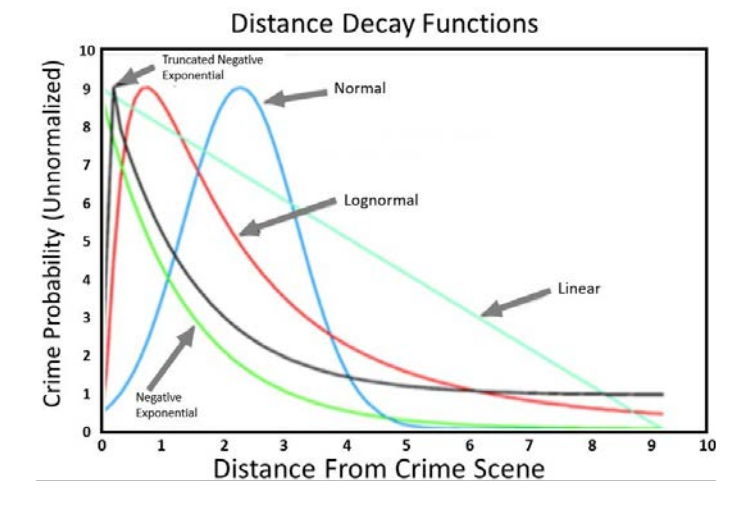


Figura 3. Muestra las funciones de Distance Decay Functions (Levine, 2007, citado en Salafranca *et. al.*, 2020).



a aclarar investigaciones cuando el delincuente se encuentra en la búsqueda de ese tipo de víctima.

- Telón de fondo: es el marco espacio-temporal, es decir, el lugar donde el delincuente comete el delito, para ello es necesario considerar accidentes geográficos, conformación urbana y horarios, estos antecedentes se deben utilizar para ajustar el perfil.
- Autopistas y otras vías arteriales: las personas no se desplazan en línea recta, sino que utilizan la red vial para movilizarse, esto es necesario considerarlo al momento de analizar los lugares por donde se desplaza el delincuente.
- Paradas de autobús, metro y tren: algunos delincuentes no utilizan automóvil, por lo cual sus desplazamientos son en transporte público, por ello, dentro del análisis del geoperfil, es necesario considerarlos como lugares obligados de los delincuentes.
- Leyes de urbanismo y uso del suelo: los planos reguladores de urbanismo, que clasifican el destino que se le da al suelo, pueden dar indicios sobre el porqué una persona podría o no estar en un determinado lugar.
- Límites físicos y psicológicos: son barreras que limitan el desplazamiento del delincuente en espacio geográfico y en los aspectos psicológicos, como ocurre con el nivel socioeconómico de un lugar o una zona, o con la pertenencia o no a un grupo étnico diferente.
- Demografía de un barrio: el delincuente puede preferir determinados perfiles de sus víctimas, tales como una edad específica, etnia, grupo económico y sexo.
- Singularidades o fuera de normalidad: muchas veces algunos delitos, pueden estar fuera de los patrones de análisis, lo que demanda una mayor atención y el uso de más recursos para su estudio.
- Desplazamiento: cuando la policía, con el objeto de evitar nuevos delitos, realiza patrullajes en la zona de operaciones del delincuente, este puede desplazarse a otros lugares; o cuando hay mucha publicidad en los medios de comunicación, la gente puede estar más atenta en la zona afectada, y de este modo la elección racional para cometer el delito puede verse alterada.

#### Delincuentes seriales en delitos sexuales

Los delincuentes seriales son reconocidos como aquellos individuos que se motivan a efectuar actos delictivos hacia tres o más personas en ciertos períodos de tiempo, intercalando lapsos de "enfriamiento" entre cada delito. Esas motivaciones delictuales suelen ser deducidas a partir de la conducta observable que presentan los delincuentes, cuyas variables pueden actuar como activadoras o energizantes de la conducta, permitiendo así seleccionar objetivos que se basan en la gratificación psicológica que les proporciona la comisión de delitos.

La forma en que un delincuente regula estas motivaciones puede ser autorregulada (a partir de causas internas como el deseo, el miedo, la excitación, etc.) o reguladas por el ambiente (ocasión, oportunidad, estímulo elicitador, etc.). Muchas teorías de la motivación se basan en que, ante un estado general de malestar o de excitación no calmada, se intenta buscar una conducta o actividad que lo libere de esa tensión (Albertín, Soria & Saiz, 2005). Sin embargo, estos delincuentes suelen ser selectivos al escoger a sus víctimas, siguiendo las

necesidades que rigen sus motivaciones, además de mantener un mismo o similar modus operandi al momento de actuar.

En el caso de las agresiones sexuales, el individuo puede presentar un malestar ligado a una acumulación de excitación y fantasías que necesite de una actuación concreta para liberar esa tensión y ese malestar. Aun así, una agresión sexual consigue liberar esa tensión puntualmente, pero no elimina para siempre ese malestar o tensión, lo que puede derivar a que sus actos se reiteren a partir de dicha motivación permanente de seguir cometiendo estos delitos. Por lo tanto, se podría decir que los actos delictivos en general, refieren a procesos cognitivos asociados a unos actos que son reevaluados mediante los mismos procesos cognitivos distorsionados (Albertín *et al.*, 2005).

Urra (2003) define a los agresores sexuales de forma genérica como personas con inmadurez psicosexual, que agreden para autoafirmar un "Yo" lábil e inseguro, y que se caracterizan por poseer un alto grado de hedonismo y muy baja resonancia emocional. Además, considera que suelen ser delincuentes versátiles, por lo que resultan proclives a todo tipo de violencia contra las mujeres y que emplean todo aquello que les sirve para racionalizar el asalto como elemento facilitador del mismo.

Por lo tanto, conductualmente, se puede considerar que la reincidencia tiende a producirse si la experiencia fue gratificante para el agresor y no recibió sanción; además, de generarse un proceso de desensibilización, la cual incrementa en el agresor un mayor nivel de violencia ante las víctimas, recurrencia que podría explicar en parte la serialidad de actos delictivos que puede cometer un individuo (Urra, 2003).

## Sistemas de Información Geográfica y tratamiento de datos

Los Sistemas de Información Geográfica (SIG) fueron creados a inicios de la década de 1960, sus primeros usos estuvieron enfocados en la industria forestal, desde esa fecha hacia adelante se han incorporados a diferentes disciplinas del quehacer científico, entre las cuales destaca la criminología. Un SIG (o GIS de su sigla en inglés Geographic Information System) tiene como principal función mapear fenómenos geográficos, físicos y sociales; entre sus componentes se incluyen software, hardware, mapas digitales, bases de datos e internet. Con el paso de los años los softwares se han ido modernizado incluyendo mayores herramientas; la cartografía digital que al inicio de los sistemas era fundamental, ahora es consumida a través de internet, como asimismo capas de información que se pueden intercambiar a través de la red con formatos estandarizados. La baja en los costos de este tipo de herramientas permitió su uso para hacer frente a problemas policiales, incluyendo computadores, dispositivos de impresión y de mapas digitalizados, lo que se incrementó durante los últimos años (Vozmediano, San Juan, & Espinoza, 2006).

En el caso de Chile, esta metodología está comenzando a ser utilizada como estrategia para combatir el delito, por eso el objetivo de este estudio, es mostrar la capacidad que tienen estos procedimientos tecnológicos para investigar delitos seriales, a través del perfilamiento de tres delincuentes detenidos por ataques sexuales seriales en la Región Metropolitana de Santiago de Chile, entre los años 2010 - 2019.



## **METODOLOGÍA**

## **Participantes**

Los tres casos de agresores sexuales seriales fueron identificados a partir de la información disponible en los partes policiales de Carabineros de Chile. Los tres corresponden a hombres, con un rango de edad de los 26 a los 46 años, todos solteros, sin hijos, escolaridad primaria y sin oficio.

#### **Procedimiento**

El acceso a los datos se realizó bajo las normas dispuestas en la ley chilena sobre protección de la vida privada.

El diseño de esta investigación es pseudo prospectivo, dado que se identifican hechos ocurridos en el pasado relacionando esos hechos con todos los nuevos eventos, tal como si fuese un seguimiento longitudinal. Si bien una detención no garantiza la responsabilidad en el delito, en este caso el objetivo es comprobar la utilidad del método de perfilación, como una herramienta disponible en la investigación criminal.

## Análisis de datos

Para el logro de los objetivos planteados en esta investigación, se utilizará el programa ArcMap, de la empresa ESRI, uno de los principales SIG a nivel mundial, además del sistema de tratamiento de datos denominado CrimeStat, que corresponde a un programa creado por Ned Live en 1981 para realizar procesos espaciales matemáticos, los que luego serán visualizados en el SIG (Levine, 2007).

Para realizar el geoperfil se utiliza el programa ArcMap, donde se cargan los archivos Shapefile (\*.shp), formato creado por ESRI especialmente para los SIG, el método utilizado para geoperfilar los delitos, es a partir de Google Earth, los cuales fueron ingresados punto a punto, para luego ser guardados como KMZ, formato nativo de Google Earth y reconocido por ArcMap. A modo de ejemplo, se presentará el análisis de datos del primer caso (MDV), secuencia que será replicada en los otros dos. En la Figura 4, se observa la ubicación de los delitos de violación e intento de secuestro.

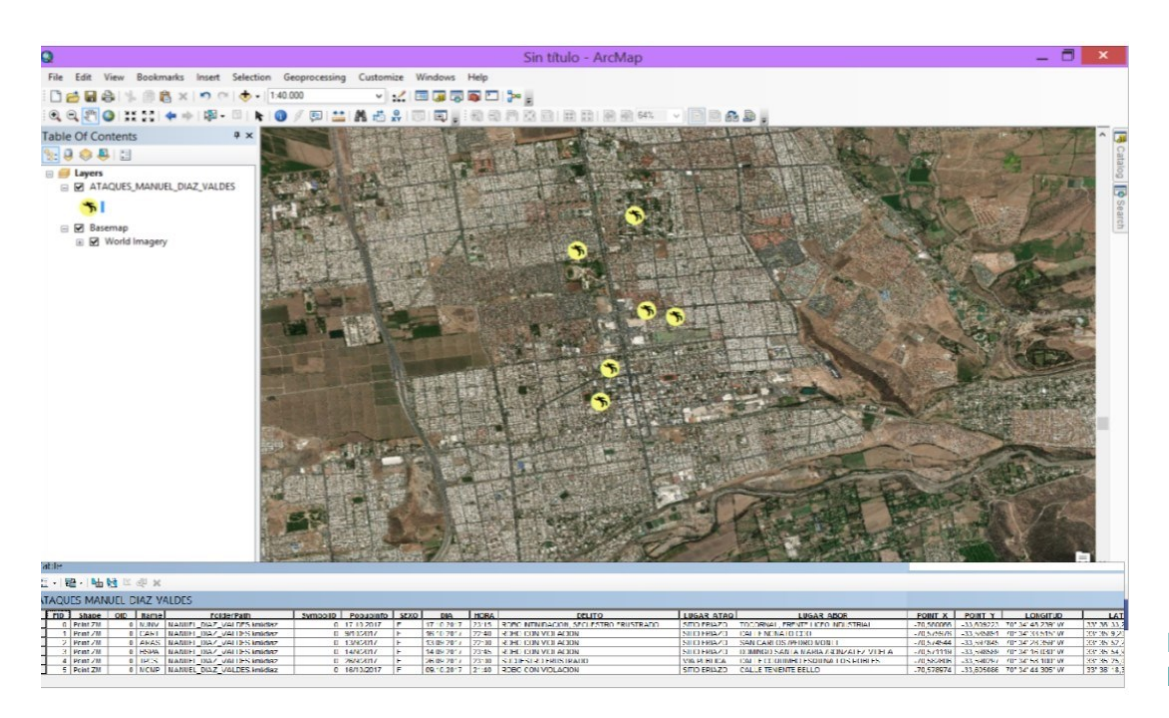


Figura 4. Visualización de los delitos en ArcMap.



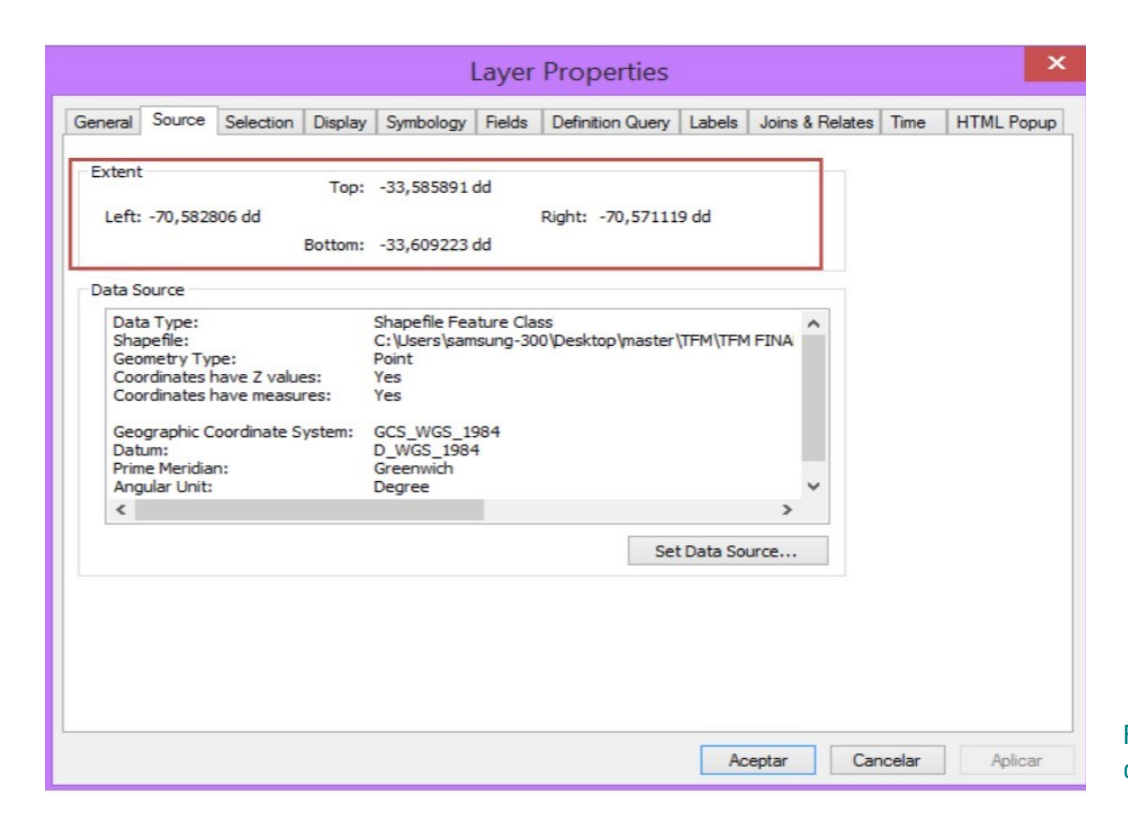


Figura 5. Layer propiedades de ArcMap.

En la Figura 5, se observa la proyección cartográfica de la cobertura Shapefile y las coordenadas de los vértices de la zona de estudio (top, botton, left, right), los que más tarde en CrimeStat III serán utilizados para generar la grilla que contiene todos los delitos del caso.

En la Figura 6, se muestra la interface del programa CrimeStat III, el comando Data Setup, en Select Files, se debe ingresar el archivo Dbase, que proviene del Shapefile, que contiene los delitos seriales, luego se deben agregar las coordenadas X e Y.

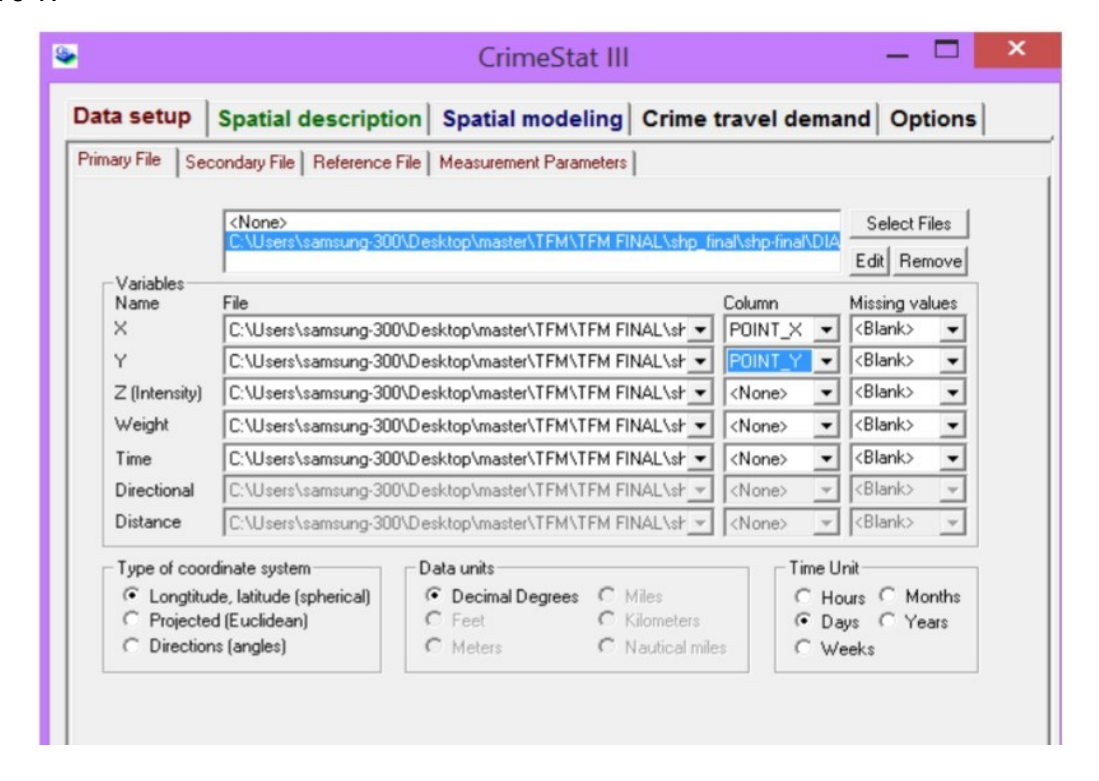


Figura 6. Visualización de Data Setup (CrimeStat III).



En la Figura 7, se aprecia el ingreso (Reference File) de los vértices de zona para crear la grilla ráster que permite generar un rectángulo que, en menor área, contenga todos los puntos del conjunto, dichos datos se obtienen de ArcMap en propiedades de layers.

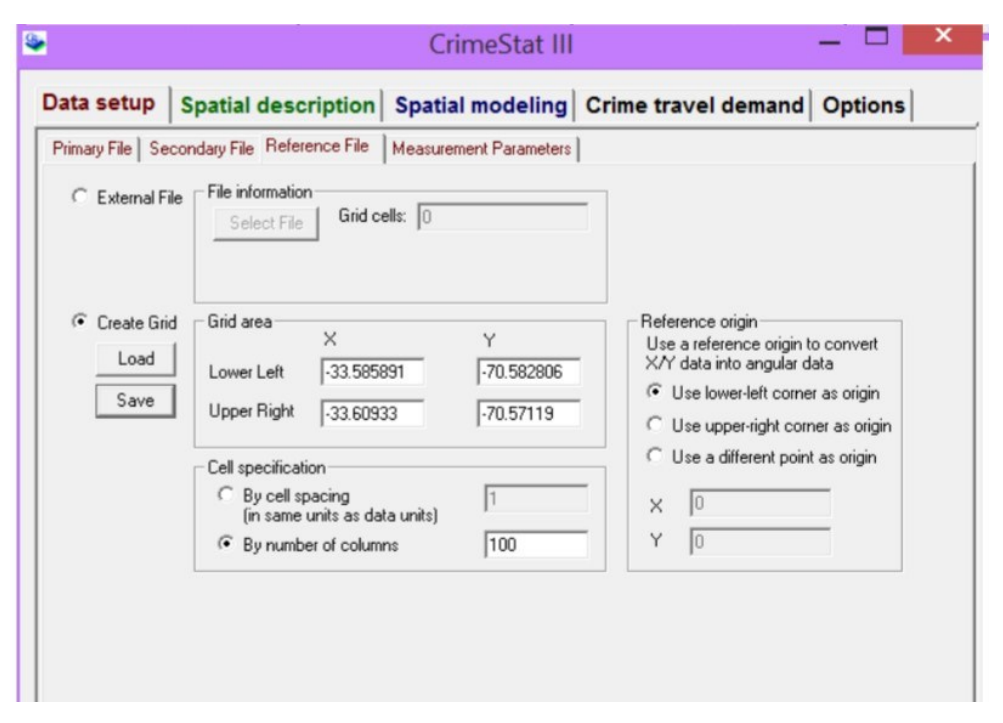


Figura 7. Visualización de Reference File (CrimeStat III).

En la Figura 8, se muestra CrimeSat III, el módulo Spatial Modeling y su aplicación Journey to Crime. El sistema permite utilizar diferentes fórmulas matemáticas, que se relacionan a diversas distribuciones espaciales (Linear Distribution, Negative Exponential, Normal Distribution, Truncated Negative y Lognormal Distribution).

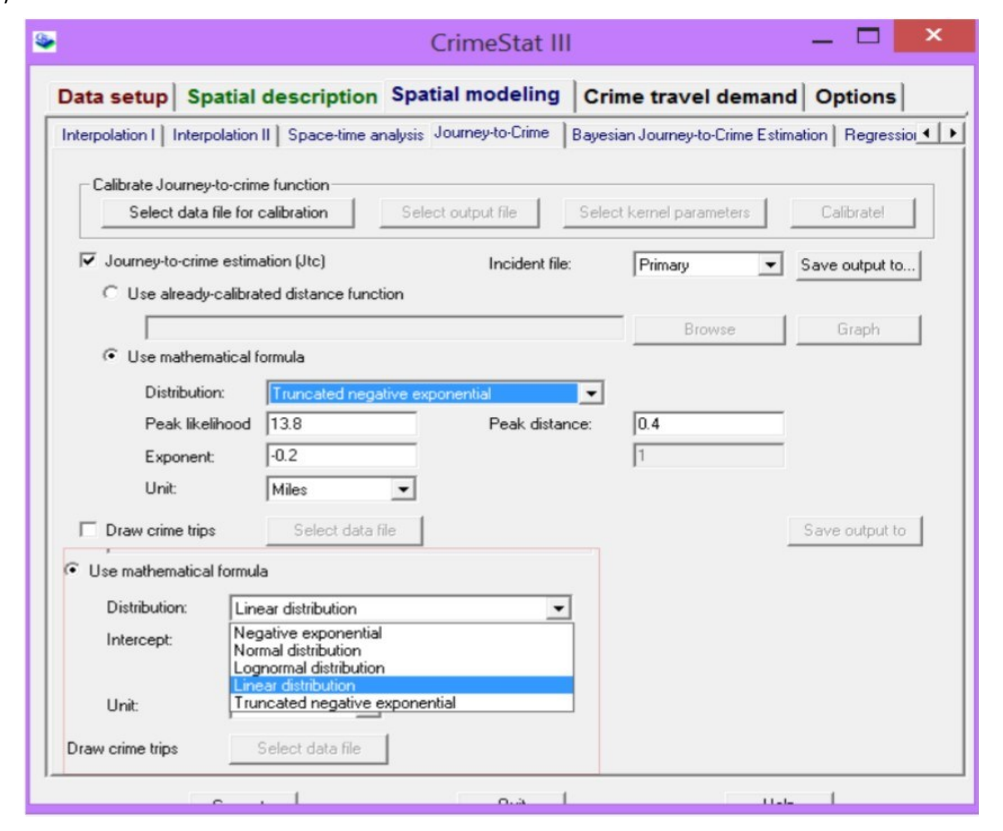


Figura 8. Visualización de Journey to Crime, y las cinco mathematical formula (CrimeStat III).

|                     | Save output   |        | × |
|---------------------|---|--------|---|
| Jtc                 |   | OK     | 1 |
| Save output to:     | arcView 'SHP'                                       | Cancel | 1 |
| C:\Users\samsung-30 | 00\Desktop\master\TFM\TFM FINAL\shp_final\shp-final | Browse | _ |
| MIF Options         |   |        | _ |
| C Common projection | ns  |        | _ |
|                     |   |        | - |
| © Define parameters |   |        |   |
| Name of projection: | CoordSys Earth Projection                           |        |   |
| Projection number:  | 1   |        |   |
| Datum number        | 33  |        |   |
| Units               |   |        |   |
| Origin Longitude    |   |        |   |
| Origin Latitude     |   |        |   |
| Scale Factor        |   |        |   |
| False Easting       |   |        |   |
| False Northing      |   |        |   |
|                     |   |        |   |

Figura 9. Visualización módulo Save Output (CrimeStat III).

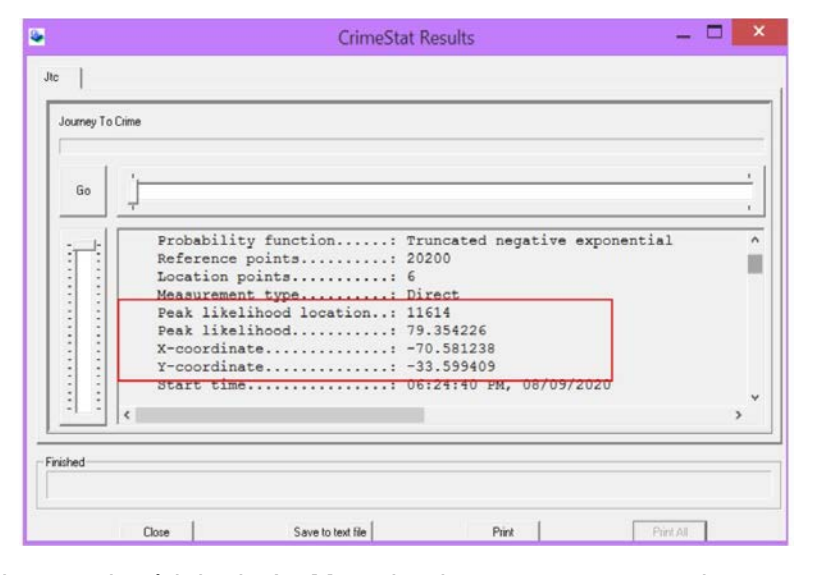


Figura 10. Visualización módulo Results (CrimeStat III).

En la Figura 11 se observa el módulo de ArcMap, donde ya se encuentran desplegados todos los Shapefile de las 5 funciones calculadas con CrimeStat III.

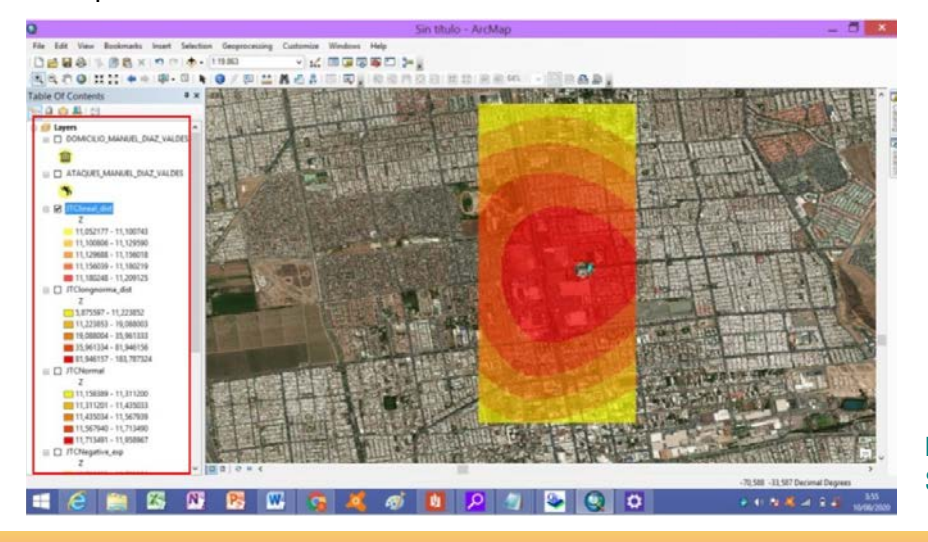


Figura 11. Visualización Shapefile 5 funciones (ArcMap).



#### **RESULTADOS**

#### Caso N° 1 MDV

Corresponde a un hombre de 40 años, sin oficio estable, escolaridad primaria, soltero, vive en una comuna del sector sur de Santiago de Chile. Esta persona tiene un historial delictual asociado a delitos contra la propiedad. De acuerdo con la información contenida en los partes policiales sus víctimas han sido mujeres jóvenes las cuales se desplazan a pie hasta sus domicilios, especialmente desde

principales avenidas salidas de estaciones de Metro. Las víctimas fueron abordadas en la calle y a través de la intimidación con un arma blanca, son subidas al vehículo del antisocial, recostándolas sobre el asiento trasero del automóvil, para ser llevadas a un sitio eriazo o descampado, quizás cerca de río Maipo, el que resultó estar cercano a su domicilio. Después de un corto intercambio de palabras procede a violarlas y les roba sus pertenencias, para luego abandonarlas cerca del mismo lugar donde fueron abordadas. En total, esta persona participó en 6 delitos diferentes según los partes registros de policiales de Carabineros de Chile, que se muestran en la Tabla 1.

Tabla 1. Antecedentes de los delitos cometidos por MDV.

| Víctima | Género | Día        | Hora  | Delito                         | Lugar<br>abordaje                            | Lugar<br>ataque | Point X   | Point Y   |
|---------|--------|------------|-------|--------------------------------|--|-----------------|-----------|-----------|
| MJNV    | F      | 17.10.2017 | 23:15 | Robo<br>secuestro<br>frustrado | Tocornal,<br>frente Liceo<br>Industrial      | Sitio<br>eriazo | -70,58007 | -33,60922 |
| CART    | F      | 16.10.2017 | 22:40 | Robo con violación             | Calle<br>Nonato<br>Coo                       | Sitio<br>eriazo | -70,57598 | -33,58589 |
| ARAS    | F      | 13.09.2017 | 22:00 | Robo con violación             | San Carlos<br>/ Pedro<br>Montt               | Sitio<br>eriazo | -70,57454 | -33,59785 |
| BSPA    | F      | 14.09.2017 | 23:45 | Robo con<br>violación          | Domingo<br>Sta. María<br>/González<br>Videla | Sitio<br>eriazo | -70,57112 | -33,59859 |
| TPCS    | F      | 26.09.2017 | 23:00 | Secuestro<br>frustrado         | Calle<br>Coquimbo<br>esquina<br>Los Robles   | Vía<br>pública  | -70,58281 | -33,59030 |
| MCMP    | F      | 09.10.2017 | 21:40 | Robo con violación             | Calle<br>Teniente<br>Bello                   | Sitio<br>eriazo | -70,57897 | -33,60509 |

### Función Distribución Lineal

La Figura 12 muestra los lugares donde MDV abordó a sus víctimas, mientras que la zona roja indica los lugares de mayor probabilidad del domicilio o base de operaciones del sospechoso de acuerdo con la función de distribución Lineal. El punto color calipso indica el punto *Peak* que es lugar de mayor probabilidad de su domicilio o base. En el caso de la Figura 13, se aprecia como desde el punto *Peak*, hasta el domicilio de MDV hay una distancia de 2,9 kilómetros.



PEAK

Figura 12. Visualización función de distribución lineal (ArcMap).



Figura 13. Medición zona *Peak*.

# Función Distribución Lognormal

En la Figura 14, se muestra que el área de color rojo más intenso representa la mayor probabilidad del domicilio o base de operaciones del agresor, de acuerdo con la función de distribución lognormal. La diferencia entre el punto *Peak* y la distancia hacia el domicilio de MDV, es de 2,1 kilómetros de distancia.

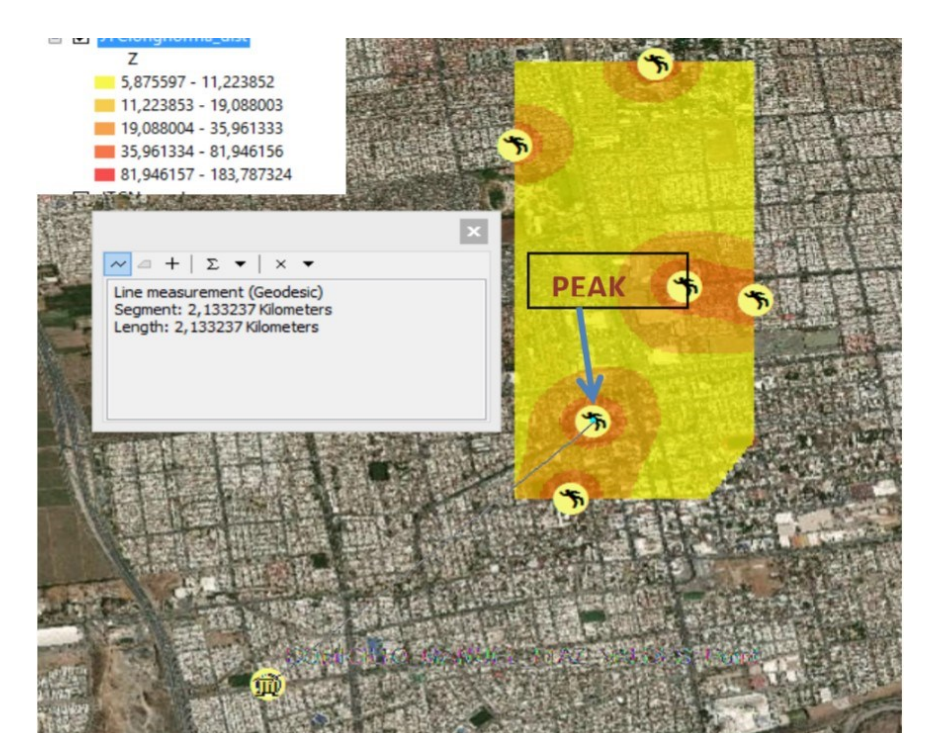


Figura 14. Medición zona *Peak*.



# Función Distribución Negativa Exponencial

En la Figura 15, se muestra en color rojo más intenso el área con mayor probabilidad de encontrar el domicilio o base de operaciones del agresor, de acuerdo con la función de distribución negativa exponencial. El punto *Peak* está a una distancia de 2,9 kilómetros del domicilio de MDV.



Figura 15. Medición zona *Peak*.

# Función Distribución Truncated Negativa Exponencial

La Figura 16 muestra que las áreas de color rojo más intenso (mayor probabilidad del domicilio o base de operaciones del agresor), de acuerdo con la función de distribución negativa exponencial. El punto *Peak* se ubica a una distancia de 2,4 kilómetros del domicilio de MDV.

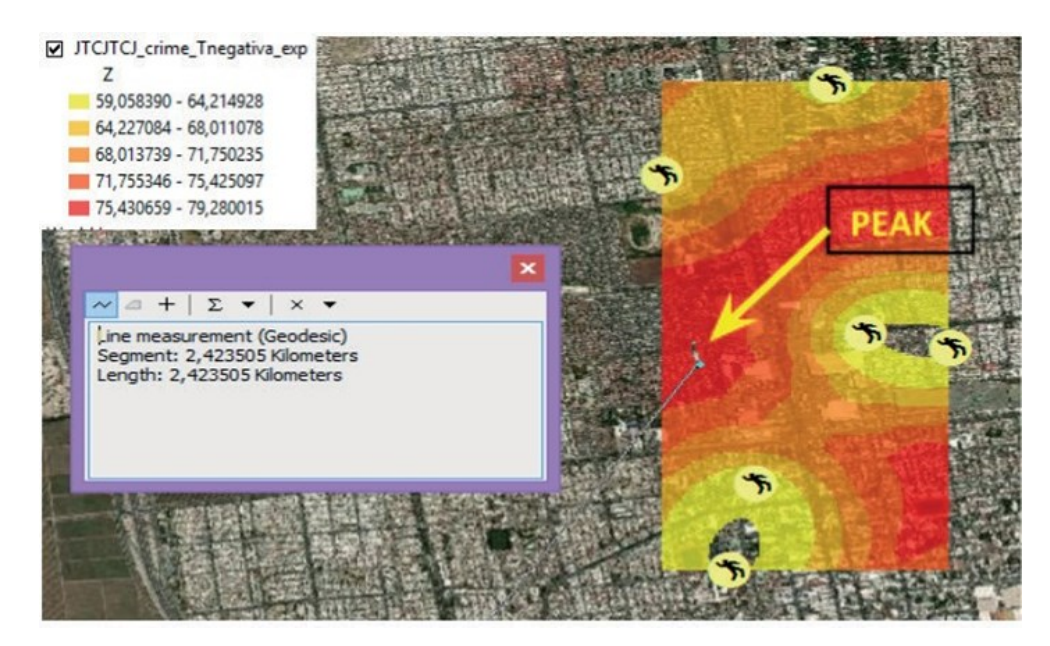


Figura 16. Medición zona *Peak*.



## Círculo de Canter y zona de seguridad

Con las herramientas del programa ArcMap se aprecia que en Figura 17, se trazó el diámetro de una circunferencia, donde dentro del círculo deben estar contenidos los delitos, debiendo existir en el centro del círculo la mayor probabilidad de estar el domicilio o base de operaciones, que en este caso se explica más bien por la zona de seguridad del delincuente que corresponde a 1700 metros.

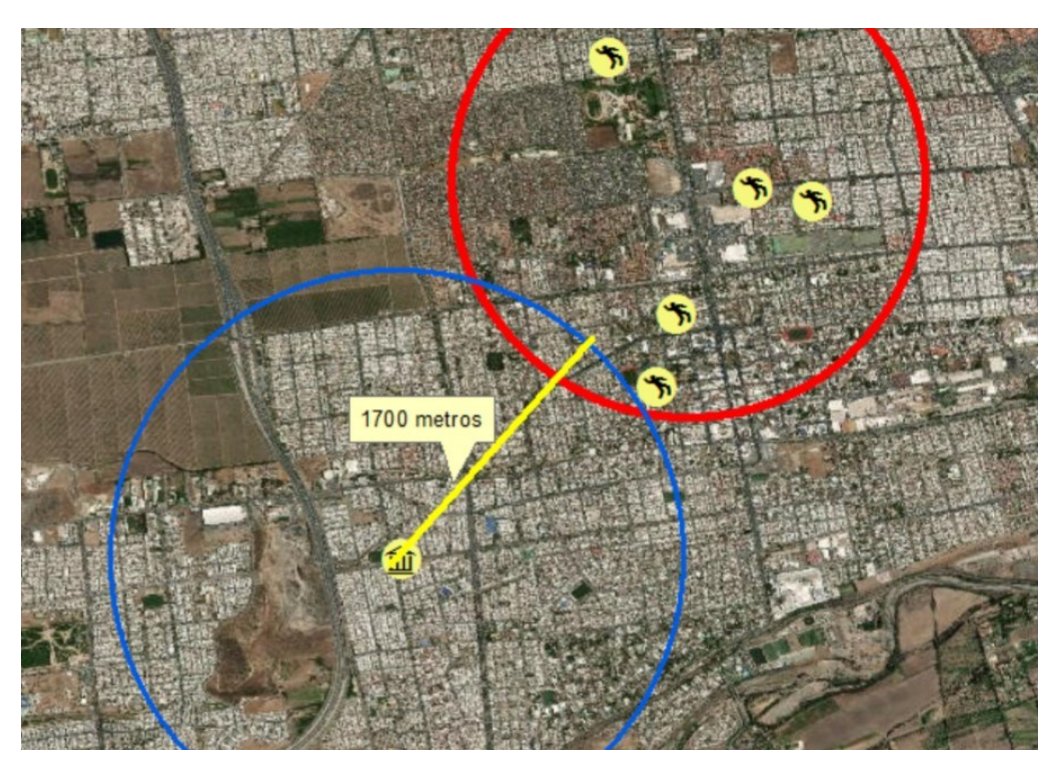


Figura 17. Círculo de Canter y zona de seguridad.

Tabla 2. Antecedentes de los delitos cometidos por MSM.

### CASO N° 2 MSM

Corresponde a un hombre de 26 años, sin oficio estable, escolaridad primaria, soltero, su domicilio está en el sector sur poniente de Santiago, pero acostumbra a pasar varios días y noches en el Parque San Borja ubicado en centro de Santiago. En su historial delictual existen delitos sexuales y contra la propiedad (Tabla 2). Sus víctimas son mujeres jóvenes o menores (escolares) que por lo general se encuentran acompañadas de sus parejas en el entorno de plazas o parques en actividades recreativas (conversando sentados en pasto). Las víctimas son intimidadas con un arma blanca, para obligarlas a ocultarse detrás de algunos arbustos, procediendo así a robar celulares y luego a través de amenazas obligar a las mujeres a practicarle sexo oral.

| Víctima       | Género | Día            | Hora  | Delito                                    | Lugar de<br>Abordaje            | Lugar<br>Ataque                            | Point X   | Point Y   |
|---------------|--------|----------------|-------|---|---------------------------------|--|-----------|-----------|
| NATIC         | М      | 05-03-<br>2019 | 22:20 | Robo con<br>intimidación                  | Vía pública                     | Las Claras /<br>María Luisa<br>Santander   | -70,63147 | -33,43961 |
| BOPR          | М      | 13-02-<br>2019 | 19:00 | Robo con<br>intimidación                  | Vía pública                     | Av. España<br>/Grajales                    | -70,69948 | -33,45265 |
| EPB           | F      | 15-02-<br>2019 | 16:30 | Robo Exibi.<br>C/ Material<br>pornografía | Vía pública                     | Av. Pocuro<br>/ Pedro de<br>Valdivia       | -70,60806 | -33,43626 |
| AFVC/<br>MJGC | F/M    | 03-02-<br>2019 | 18:00 | Robo con<br>violación                     | Plaza Ext.<br>Metro<br>Salvador | Av.<br>Providencia<br>/Av.<br>Salvador     | -70,62646 | -33,43371 |
| BMGS/<br>JSM  | F/M    | 01-02-<br>2019 | 15:00 | Abuso<br>sexual<br>mayor de<br>14 años    | Vía pública                     | José Miguel<br>Carrera /<br>Alameda        | -70,65384 | -33,44722 |
| MSVA/<br>CCVC | F/F    | 31-01-<br>2019 | 20:15 | Robo con intimidación                     | Parque<br>Balmaceda             | Andrés<br>Bello /<br>Puente R.<br>Acamalac | -70,6288  | -33,43504 |
| CAFM/<br>WJAC | F/M    | 25-01-<br>2019 | 17:00 | Robo con<br>violación                     | Exterior<br>Parque<br>O´Higgins | Av. Matta /<br>Av. Viel                    | -70,65742 | -33,4505  |



### Función Distribución Lineal

La Figura 18 muestra los lugares donde fueron abordadas las víctimas por parte de MSM. El color rojo más intenso muestra las zonas con mayor probabilidad de albergar el domicilio o base de operaciones del agresor, en base a la función de distribución Lineal. El círculo color calipso corresponde al punto *Peak*, que se ubica a 613 metros del domicilio de MSM (Parque San Borja).

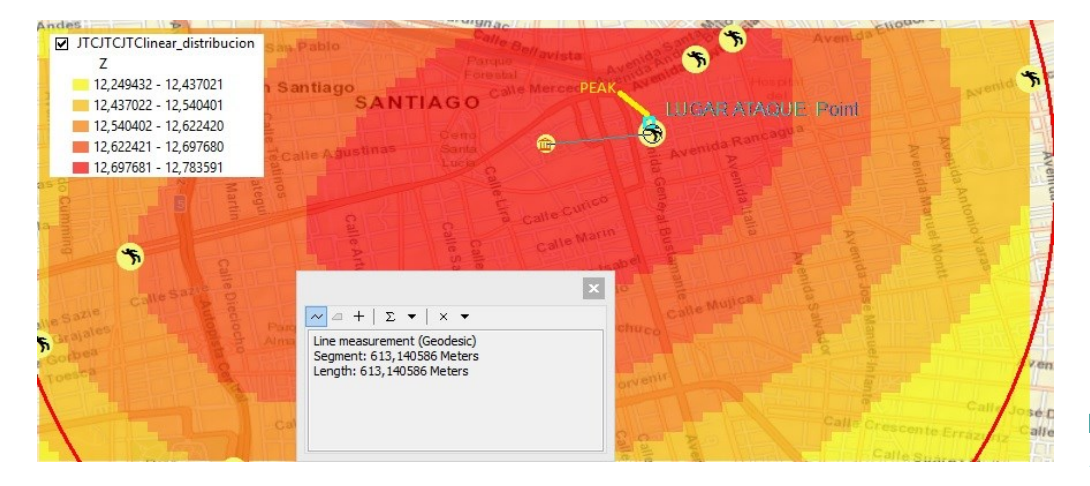


Figura 18. Medición zona *Peak*.

## Función Distribución Lognormal.

En base a la función de distribución lognormal en la Figura 19, se observa que la zona de color rojo más intenso demuestra la mayor probabilidad del domicilio o su base de operaciones. La distancia desde el punto *Peak* hasta el punto de anclaje correspondió a 1000 metros de distancia.

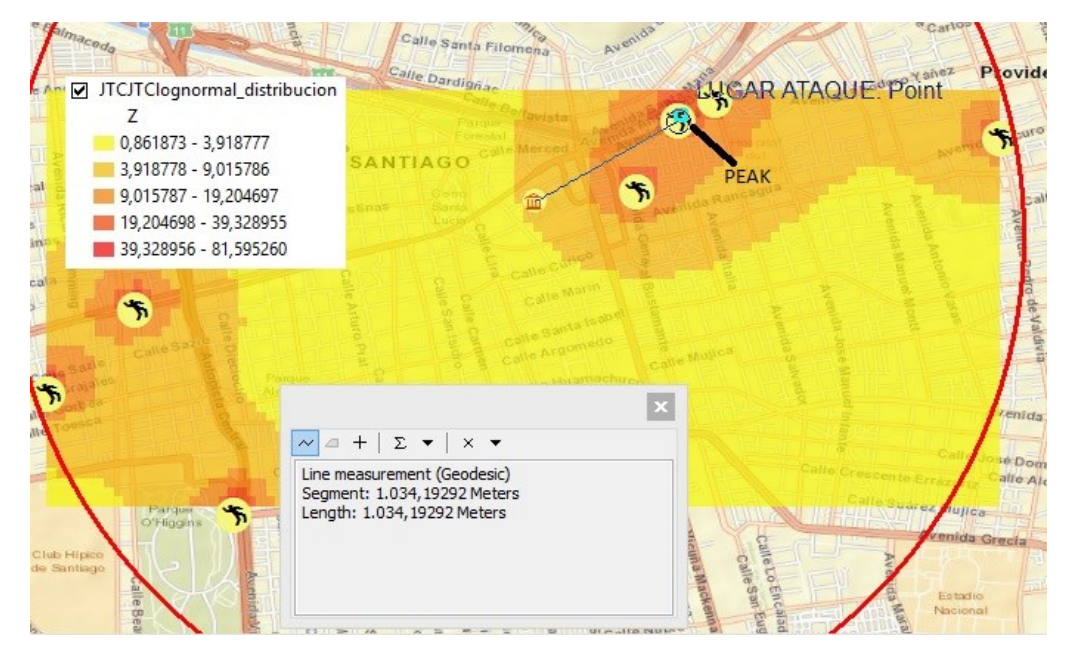


Figura 19. Medición zona *Peak* .



## Función Distribución Normal

En la Figura 20, el color rojo más intenso representa el área con mayor probabilidad de albergar el domicilio o su base de operaciones, de acuerdo con la función de distribución normal. El cálculo del punto *Peak* hasta la base de operaciones de MSM arrojó 3400 metros de distancia.

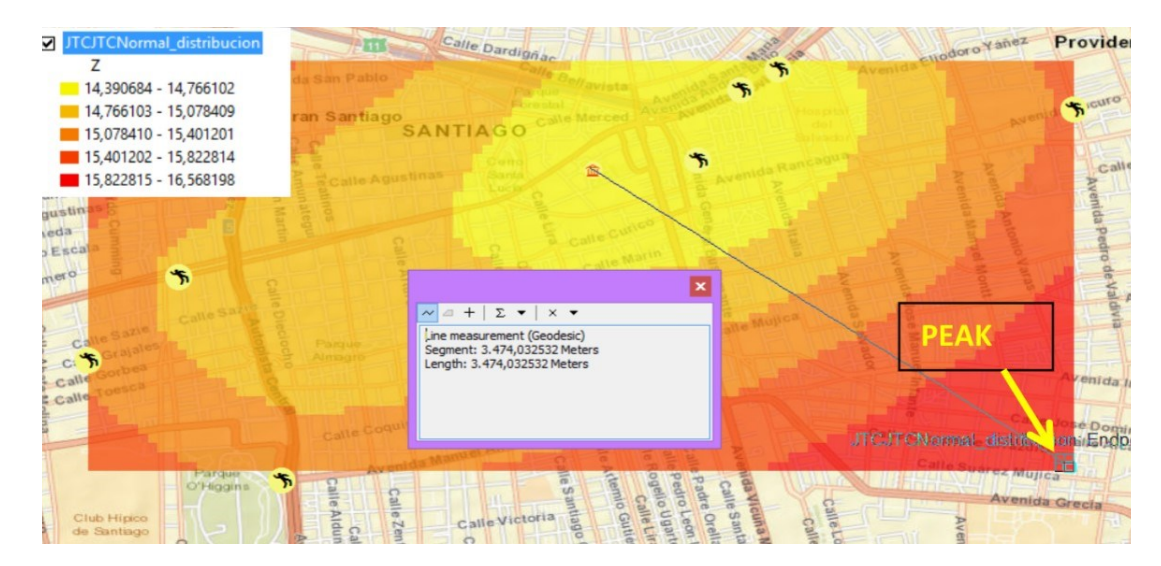


Figura 20. Medición zona.

## Función Distribución Negativa Exponencial

En la Figura 21, las áreas color rojo más intenso muestran la zona donde es mayor probabilidad de encontrar el domicilio o la base de operaciones del agresor, de acuerdo con la función de distribución negativa exponencial. El cálculo del punto

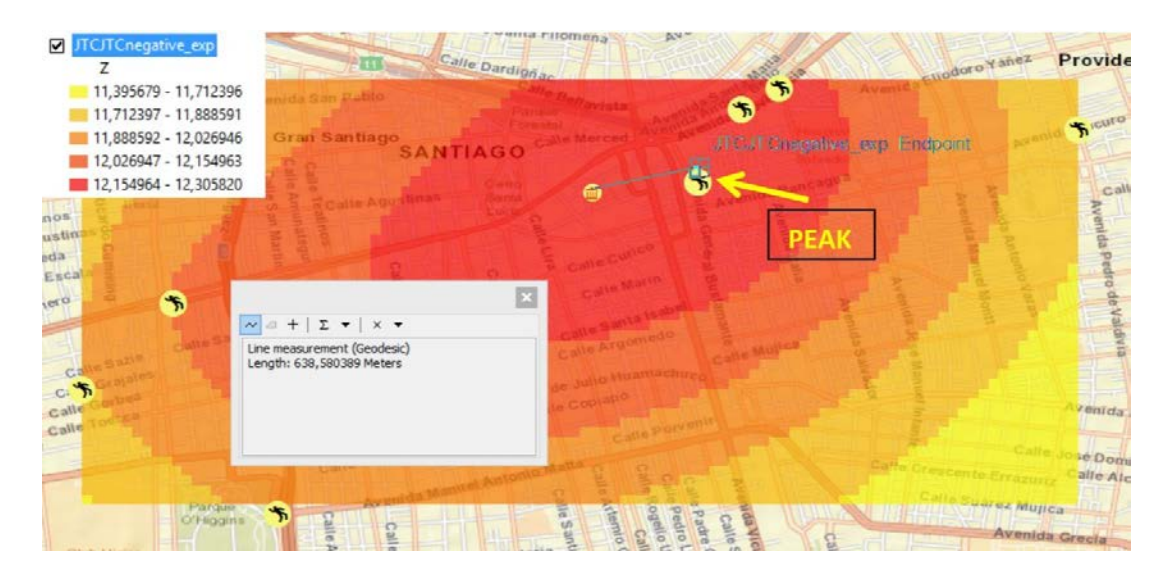


Figura 21. Medición zona *Peak*.



## Función Distribución Truncated Negativa Exponencial

En la Figura 22, se muestra en rojo más intenso la zona de ubicación más probable del domicilio o base de operaciones, de acuerdo con la función de distribución negativa exponencial. El cálculo del punto *Peak* se ubicó a una distancia de 98 metros de la base de operaciones.



Figura 22. Medición zona *Peak*.

## Círculo de Canter y zona de seguridad

Con las herramientas del programa ArcMap, se trazó el diámetro de una circunferencia, que permite incluir dentro del círculo todos los delitos, alcanzando al centro del círculo la mayor probabilidad de estar el domicilio o base de operaciones del agresor. En este caso la zona de seguridad del agresor fue de 600 metros (Figura 23).



Figura 23. Círculo de Canter y zona de seguridad.



### Caso N° 3 SOG

Corresponde a un hombre de 32 años de edad, sin oficio estable, escolaridad primaria, soltero sin hijos, vive en casas de acogida del Hogar de Cristo (casa para personas en situación de calle) en la zona céntrica de la comuna de Santiago de Chile. En la Tabla 3 se muestra su historial delictual compuesto por delitos contra la propiedad y contra la libertad sexual. Las víctimas son mujeres jóvenes que se encontraban solas al momento del abordaje, sentadas en bancos de plazas o al interior de iglesias. Su estrategia es amenazarlas con un arma blanca o a través de engaños, llevarlas hasta un viejo túnel

| Víctima | Género | Día            | Hora  | Delito                   | Lugar de<br>abordaje                  | Lugar de<br>ataque         | Pont X    | Point Y   |
|---------|--------|----------------|-------|--------------------------|---------------------------------------|----------------------------|-----------|-----------|
| K.V.C   | F      | 02-11-<br>2016 | 11:40 | Robo<br>con<br>violación | Mall<br>Estación<br>Central           | Túnel<br>aband. de<br>Tren | -70,68311 | -33,45220 |
| M.P.P   | F      | 01-10-<br>2016 | 10:30 | Robo<br>con<br>violación | Frente<br>Estación<br>Tren<br>Central | Túnel<br>aband. de<br>Tren | -70,67748 | -33,45053 |
| Y.C.M   | F      | 11-10-<br>2016 | 16:40 | Robo<br>con<br>violación | Interior<br>Gruta<br>Lourdes          | Túnel<br>aband. de<br>Tren | -70,68540 | -33,43801 |
| D.R.R   | F      | 04-04-<br>2016 | 17:00 | Robo<br>con<br>violación | Interior<br>Catedral                  | Túnel<br>aband. de<br>Tren | -70,65118 | -33,43802 |
| C.D.C   | F      | 24-03-<br>2016 | 21:30 | Robo<br>con<br>violación | Interior<br>Restaurant                | Túnel<br>aband. de<br>Tren | -70,64965 | -33,47333 |
| M.A.Y   | F      | 23-03-<br>2016 | 17:30 | Robo<br>con<br>violación | Estación<br>Central                   | Túnel<br>aband. de<br>Tren | -70,68056 | -33,45159 |
| C.H.H   | F      | 03-11-<br>2016 | 12:00 | Robo<br>con<br>violación | Cercanía<br>Metro Q.<br>Normal        | Túnel<br>aband. de<br>Tren | -70,68006 | -33,44000 |
| P.P.C   |        | 11-11-<br>2016 | 12:20 | Robo<br>con<br>violación | Parque los<br>Reyes                   | Túnel<br>aband. de<br>Tren | -70,66868 | -33,42845 |

abandonado donde procede a agredirlas sexualmente de manera muy violenta, dejándolas abandonadas en el mismo lugar.

Tabla 3. Antecedentes de los delitos cometidos por SOG.

La Figura 24 muestra los lugares donde son abordadas las víctimas por parte de SOG. Las zonas rojas corresponden a la mayor probabilidad de ubicación del domicilio o base de operaciones del agresor, de acuerdo con la función de distribución Lineal. El punto color calipso indica el punto *Peak*, que es el lugar de mayor probabilidad de su domicilio, el cual resultó situado a 1755 metros del lugar.

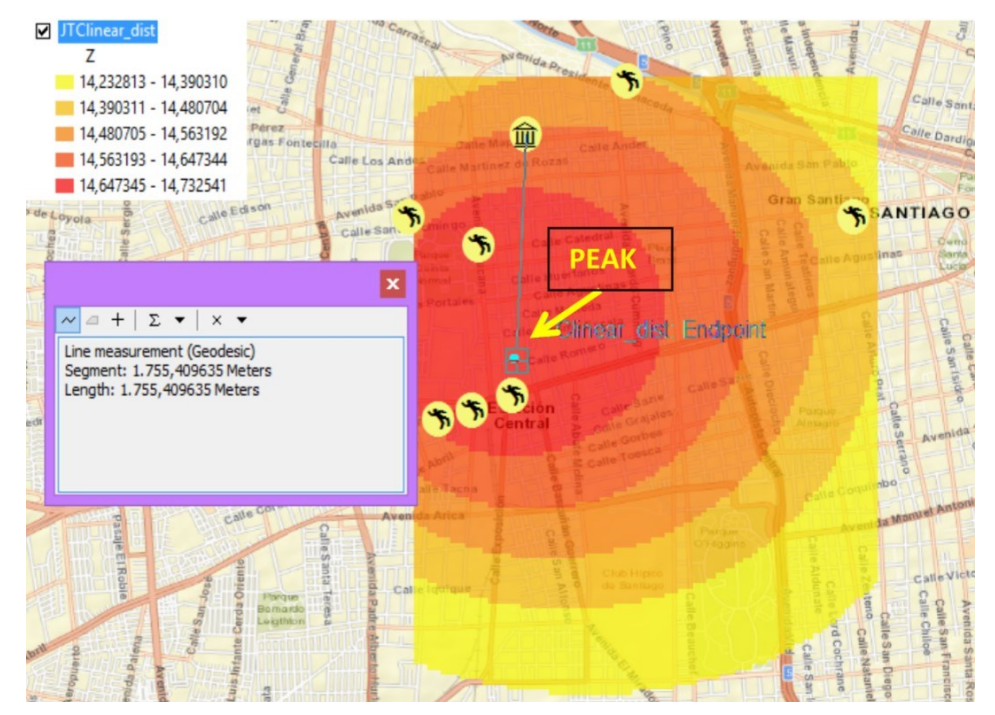


Figura 24. Medición zona *Peak*.



# Función Distribución Lognormal

La Figura 25 muestra el área de color rojo más intenso como la con mayor probabilidad del domicilio o base de operaciones del agresor, de acuerdo con la función de distribución lognormal. La distancia desde el punto *Peak* hasta el domicilio de SOG fue de 2100 metros.

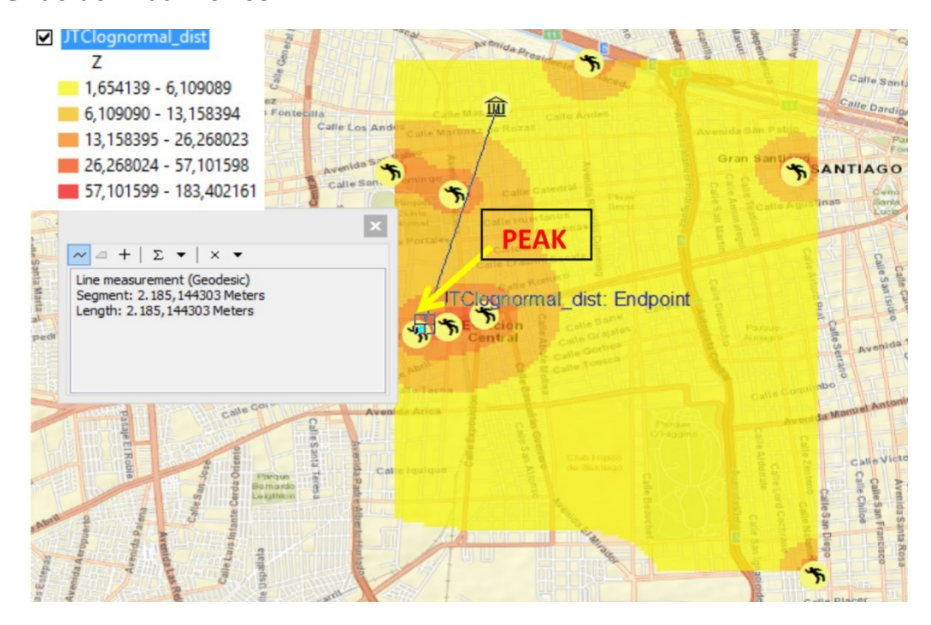


Figura 25. Medición zona *Peak*.

## Función Distribución Normal

En la Figura 26, se muestra que el área de color rojo más intenso representa la zona con mayor probabilidad de albergar el domicilio o base de operaciones del agresor, de acuerdo con la función de distribución normal. Desde el punto *Peak* al domicilio de SOG, hay 5100 metros de distancia.

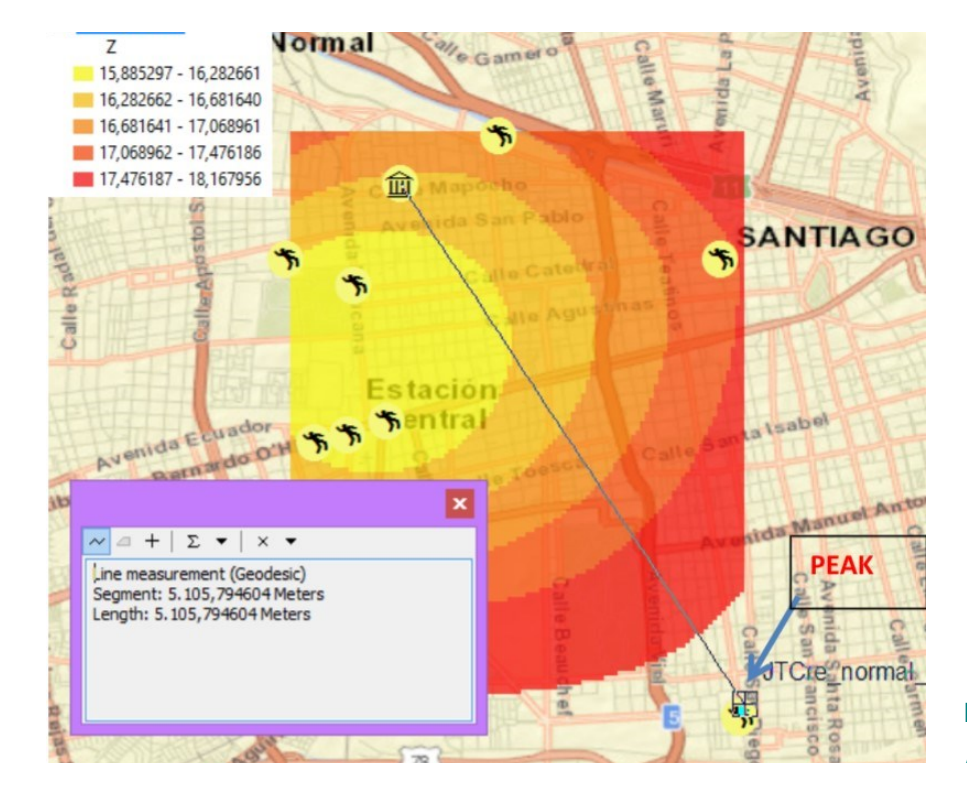


Figura 26 Medición zona *Peak*.



## Función Distribución Negativa Exponencial

La Figura 27 muestra en color rojo más intenso la mayor probabilidad del domicilio o base de operaciones del agresor, de acuerdo con la función de distribución negativa exponencial. Del punto *Peak* hasta el domicilio de SOG hay 1.800 metros de distancia.

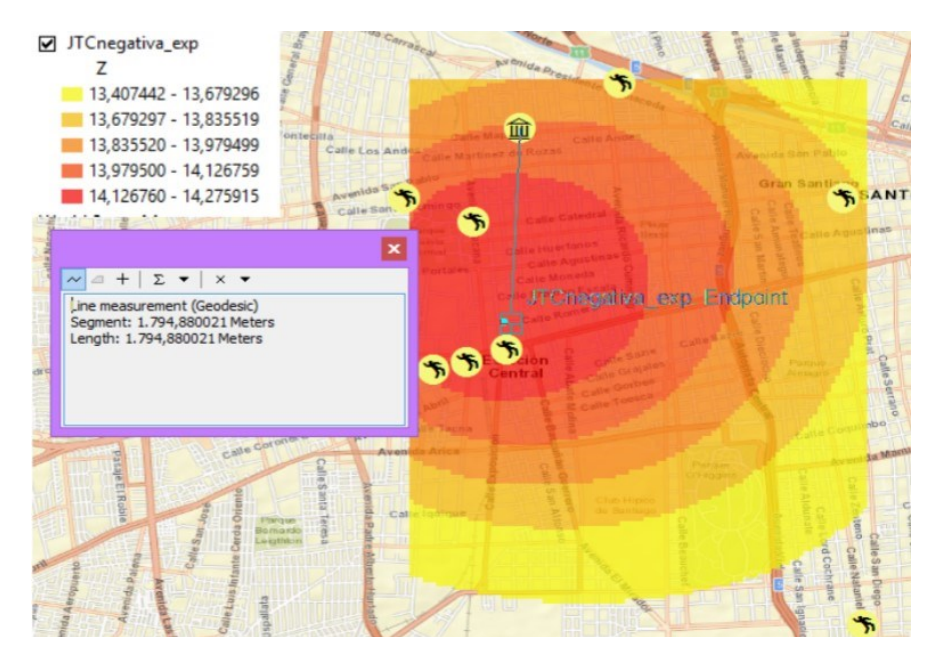


Figura 27. Medición zona *Peak*.

# Función Distribución Truncated Negativa Exponencial

En la Figura 28, se observan las áreas de color rojo más intenso que representan la mayor probabilidad del domicilio o base de operaciones del agresor, de acuerdo con la función de distribución negativa exponencial. Desde el punto *Peak*, hay 1300 metros hasta el domicilio de SOG.

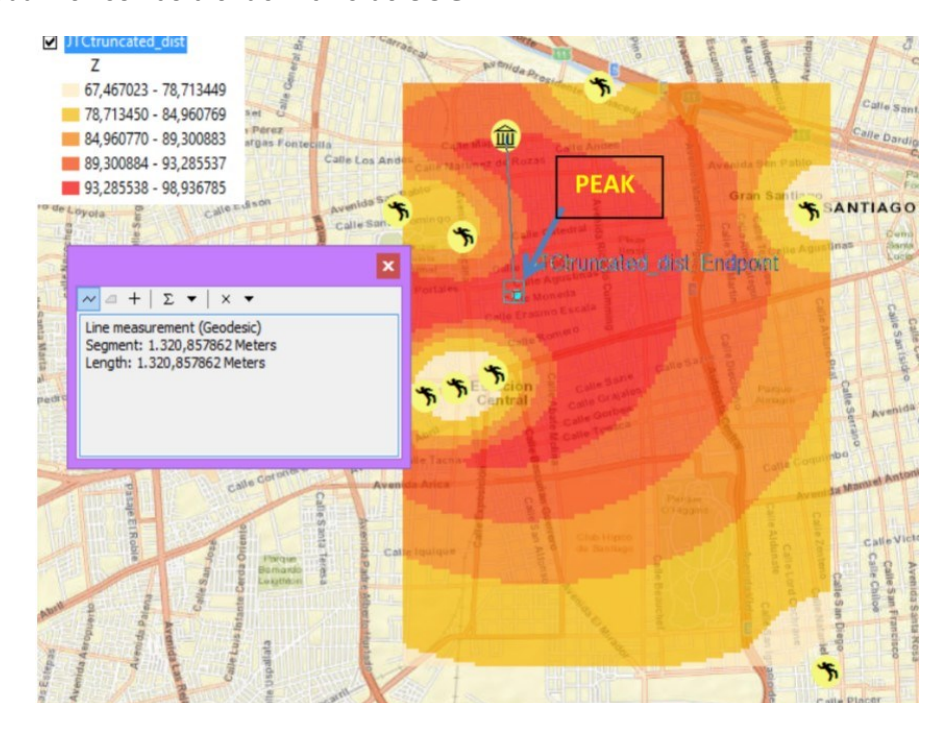


Figura 28. Medición zona *Peak*.

# Círculo de Canter y zona de seguridad

Con las herramientas del programa ArcMap, se traza el diámetro de una circunferencia, donde dentro del círculo deben estar contenidos los delitos, debiendo existir en el centro del círculo la mayor probabilidad de estar el domicilio o base de operaciones, además se mide la zona de seguridad del delincuente que corresponde a 830 metros (Figura 29).

La estrategia de perfilamiento geográfico delictual consiste en el cálculo de la distancia de probabilidades, al domicilio o base del delincuente, en este caso arrojó los siguientes resultados, correspondientes a las distancias en metros y la adjudicación de la tipología según la clasificación de Canter (Canter & Laskin, 1993) (Tablas 4 y 5).



Figura 29. Círculo de Canter y zona de seguridad.

|                            | MDV                                       |                     |  |
|----------------------------|---|---------------------|--|
| FUNCIÓN                    | DISTANCIA DE ERROR AL<br>DOMICILIO O BASE | TIPO DE DELINCUENTE |  |
| Lineal                     | 2.900 metros                              |                     |  |
| Lognormal                  | 2.100 metros                              |                     |  |
| Normal                     | 4.200 metros                              | Viajero             |  |
| Negativa exponencial       | 2.900 metros                              |                     |  |
| Truncated neg. exponencial | 2.400 metros                              |                     |  |
|                            | MSM                                       |                     |  |
| FUNCIÓN                    | DISTANCIA DE ERROR AL<br>DOMICILIO O BASE | TIPO DE DELINCUENTE |  |
| Lineal                     | 613 metros                                |                     |  |
| Lognormal                  | 1.000 metros                              |                     |  |
| Normal                     | 3.400 metros                              | Merodeador          |  |
| Negativa exponencial       | 638 metros                                |                     |  |
| Truncated neg. exponencial | 98 metros                                 |                     |  |
|                            | sog                                       |                     |  |
| FUNCIÓN                    | DISTANCIA DE ERROR AL<br>DOMICILIO O BASE | TIPO DE DELINCUENTE |  |
| Lineal                     | 1.750 metros                              |                     |  |
| Lognormal                  | 2.100 metros                              |                     |  |
| Normal                     | 5.100 metros                              | Merodeador          |  |
| Negativa exponencial       | 1.800 metros                              |                     |  |
| Truncated neg. exponencial | 1.300 metros                              |                     |  |

Tabla 4. Error de distancias tipo de delincuente, según Canter.

| MÉTODO               | DISTANCIA A<br>ZONA SEGURIDAD | TIPO DE DELINCUENTE |
|----------------------|-------------------------------|---------------------|
| Medición directa MDV | 1700 metros                   | Viajero             |
| Medición directa MSM | 600 metros                    | Merodeador          |
| Medición directa SOG | 830 metros                    | Merodeador          |

Tabla 5. Distancia zona de seguridad.

MDV corresponde a un delincuente "Viajero", ya que su domicilio no se encuentra al interior del Círculo Canter, con respecto a la zona de seguridad o buffer es de 1700 metros, que es la distancia entre su domicilio y su víctima más cerca, la cual está en dirección noreste. Con respecto a las funciones utilizadas en CrimeStat III, el error de distancia entre el punto *Peak* y el domicilio de MDV, para la función normal, es 4200 metros y la menor distancia 2100 metros.

De acuerdo con lo observado en la Figura 17, MDV es un delincuente viajero, lo que se puede generar por variables espaciales o psicológica (Canter, 1996; Canter & Gregory, 1994; Canter & Larkin, 1993). Las espaciales podrían estar relacionadas con que el domicilio de MDV se encuentra limitado por el costado sur por un río (el Maipo) y por el poniente con la una autopista de alta velocidad (Enlace Sur), dichas limitantes le hacen orientar su conducta criminal espacialmente hacia una dirección noroeste. Desde el punto de vista psicológico, su mapa mental podría relacionarse con la necesidad de satisfacer su fantasía a través de ese *modus operandi*, ya que siempre lo hacía en vehículo y sus víctimas siempre eran abordadas en calles principales o cerca de estaciones de metro, lo que requiere de un desplazamiento de un sector a otro, en búsqueda de las condiciones que no existen cerca de su domicilio.

La base de operaciones de MSM se encuentra en el Parque San Borja, ubicado en centro cívico de la comuna de Santiago, conforme con los reportes policiales él pasa gran parte de su tiempo en ese parque, incluso pernocta durante la noche en el lugar. Es un delincuente "Merodeador" ya que su base de operaciones se encuentra dentro del círculo de Canter, su zona de seguridad para operar es 600 metros hasta su víctima más cercana, con respecto al error de distancia desde la zona base de operaciones, la más cercana es 98 metros con la función truncated negativa exponencial y la más alejada 3400 metros. De acuerdo con la ubicación de los lugares donde fueron atacadas las víctimas, estas se encuentran cerca de parques que están colindantes a avenidas principales.

En el caso de SOG su domicilio es una casa de acogida para personas en situación de calle, de la fundación Hogar de Cristo, la que se ubica en un sector antiguo y popular de la ciudad de Santiago, su zona de seguridad para operar es de 830 metros, el error de distancias en su mínimo es de 1300 metros con la función truncated negativa exponencial y la mayor de distancia con 5100 metros calculada con la función normal.

#### DISCUSIÓN

A partir de los tres casos estudiados se pueden establecer las diferencias de distancias entre las zonas de mayor probabilidad del domicilio o base de operaciones y el lugar donde se producen los ataques, los que varían dependiendo del tipo de delincuente. El agresor tipo "Viajero", realiza desplazamientos más largos para cometer sus ataques sexuales, por lo que crea una zona de seguridad más amplia, en cambio los delincuentes "Merodeadores" tienen zonas de seguridad más reducidas, esto es coherente con lo descrito por Canter (1994) y luego por Felson y Clarke (1998), al diferenciar delincuentes "Propios" y "Extraños".

En el caso de MDV (Viajero), quien desarrolló sus ataques entre los límites geográficos del río Maipo y la Autopista de acceso sur a Santiago, llevan a que la dirección del desplazamiento (noreste) del delincuente, pueda ser influenciada por esos límites, como lo indican Rossmo y Summer (2015), sobre los aspectos de importancia que hay que considerar al momento de desarrollar un geoperfil.

Uno de los problemas detectados en el caso de un delincuente "Viajero" (MDV), es cómo realizar su perfilamiento, ya que las funciones desarrolladas en CrimeStat, no permiten establecer una probabilidad razonable del domicilio o base de operaciones del delincuente, esto es coincidente con lo descrito por Canter (1994), donde indica la complejidad del perfil para los delincuentes



"Viajeros". En cambio, para los casos de delincuentes "Merodeadores", esta probabilidad es mucho más alta, llegando el caso de MSM a 98 metros en su error de distancia.

Cada caso es analizado con la información de la identificación y domicilio del delincuente, esto permite la aplicación de la técnica del perfilamiento geográfico, constando su eficiencia y utilidad en la investigación de este tipo de hechos (Brantingham & Brantingham, 1993; 1995; Canter, 1994; Felson & Clarke, 1998).

El perfilamiento geográfico delictual permite a la policía reducir las zonas de búsquedas de un sospechoso; por ejemplo, con la aplicación del Círculo de Canter es posible conocer el área de la superficie para buscar al victimario. Las funciones de CrimeStat permiten ubicar el lugar de mayor probabilidad de ocurrencia de delitos desde el domicilio, lo que sumado a la presencia de nuevas tecnologías, por ejemplo, el masivo incremento de las videocámaras de seguridad para el control del tránsito y la seguridad tanto privadas como públicas, permiten identificar los movimientos asociados a posibles sospechosos, especialmente al considerar la utilización de reconocimiento facial, empadronamiento de testigos y la georreferenciación de telefonía celular (Brantingham y Brantingham,1993; 1995; Canter, 1994; Pumain & Saint-Julien, 2010; Rossmo & Summers, 2015).

Entre las futuras líneas de estudio destaca la necesidad de utilizar estos procedimientos en casos de investigaciones prospectivas, dado que en este caso la recolección de información retrospectiva de los tres casos analizados demuestra el potencial de este tipo de estrategia investigativa tiene para la investigación de casos de criminales seriales.

#### **REFERENCIAS**

Albertín, P., M. A. Soria, & D. Saíz (2005). Psicología Criminal. Madrid: Pearson, Prentice Hall.

Andresen, M.A., R. Frank, & M. Felson (2014). Age and the distance to crime. Criminology & Criminal Justice, 14(3), 314 - 333.

Bernasco, W. (2014). Crime Journeys: Patterns of Offender Mobility. In M. Tonry (Ed.), Oxford Handbooks Online in Criminology and Criminal Justice (Oxford Handbooks Online). Oxford, UK: Oxford University press.

Brantingham, P.L., & P.J. Brantingham (1995). Criminality of place. European Journal on Criminal Policy and Research, 3, 5-26.

Brantingham, P.L., & P.J. Brantingham (1993). Nodes, paths and edges: considerations on the complexity of crime and the physical environment. Journal of Environmental Psychology, 13(1), 3-28.

Cadwallader, M.T. (1976). Cognitive distance in intraurban space. In G. T. Moore & R. G. Golledge, Eds., Environmental Knowing. Stroudsberg, PA: Dowden, Hutchinson & Ross, pp. 316-324.

Canter, D. (1994), Criminal shadows: Inside the Mind of the Serial Killer, London: Harper Collins.

Canter, D., & P. Larkin (1993). The environmental range of serial rapists. Journal of Environmental Psychology, 13(1), 63-69.

Canter, D., & A. Gregory (1994). Identifying the residential location of rapists. Journal of the Forensic Science Society, 34(3), 169-175.

Canter, D. (1996). The Environmental Range of Serial Rapists. In: Psychology in Action. Dartmouth Benchmark Series. Hantshire: Dartmouth Publishing Company.

Capone, D.L., & W.W. Nichols Jr. (1976). Urban structure and criminal mobility. American Behavioral Scientist, 20(2), 199-213.

Clarke, R.V.G., & M. Felson (1993). Routine activity and rational choice (Vol. 5). London: Transaction publishers.

Cohen L. E. & M. Felson (1979). Social change and crime rate trends: A routine Activity approach. American Sociological Review, 44, 588-608.



Cornish, D. B., & Clarke, R. V. (1987). Understanding crime displacement: An application of rational choice theory. Criminology, 25(4), 933-948.

Felson, M., & R. V. Clarke (1998). Opportunity makes the thief. Police research series, paper, 98, 1-36.

Goodall, B. (1987). The Penguin dictionary of human geography. Harmondsworth, Reino Unido: Penguin.

Levine, N. (2007). Crime travel demand and bank robberies: Using CrimeStat III to model bank robbery trips. Social science computer review, 25(2), 239-258.

Levine, N. (2014). CrimeStat IV: Part I: Program Overview. Ned Levine & Associates, Houston, TX, and the National Institute of Justice, Washington DC.

Levine, N., & P. Lee. (2009). Bayesian journey to crime modelling of juvenile and adult offenders by gender in Manchester. Journal of Investigative Psychology and Offender Profiling, 6(3), 237-252.

Pumain D., & T. Saint-Julien (2010). Analyse Spatile, Les Interactions. París, Armand Colin.

Rengert, G.F., A.R. Piquero, & P.R. Jones (1999). Distance decay reexamined. Criminology, 37, 427-446.

Rossmo, D.K., & L. Summers (2015). Routine Activity Theory in Crime Investigation. In: Andresem M.A., Farrell G. (eds). London: The Criminal Act. Palgrave Macmillan.

Rossmo, D.K. (2000). Geographic profiling. Boca Raton, FL: CRC Press.

Salafranca, D., S. Rodríguez, & J. Mateu (2020). El perfil geográfico: comportamiento y adaptación al medio. International e-journal of criminal sciences, 5(15), 1-27.

Urra, J. (2003). Agresor Sexual. Casos Reales. Riesgo de Reincidencia. Madrid Editorial EOS.

Vozmediano, L., C. San Juan, & A. Espinosa (2006). Estimación del miedo al delito y escenarios de conducta: un estudio en la CAPV y Perú. Medio Ambiente, Bienestar Humano y Responsabilidad Ecológica. Madrid: Editorial Resma.

Wiles, P., & A. Costello (2000). The 'road to nowhere': the evidence for travelling criminals. Home Office Research Study, 207.

# Óscar Figueroa Ulloa

Oficial de Carabineros y cartógrafo de la Universidad Tecnológica Metropolitana (UTEM), prestó servicios por 20 años en Carabineros, en el área de la geotecnologías, implementando el uso de sensores remotos y GPS para el control de fronteras, y la implementación del sistema de información geográfica delictual de Carabineros. Fue el iniciador de la incorporación de drones para el ámbito delictual en Carabineros. Prestó servicios en el Departamento de Fronteras de Carabineros, Sección de Información territorial de la Dirección de Inteligencia, Jefe de Departamento de Análisis Criminal y Prefecto de la Prefectura Santiago Occidente.

Durante su carrera realizó estudios en la Gendarmería Francesa en Fontaineblu, Centro internacional de especialización de policías, ONU, en Vicenza, Italia y de perfilamiento Geográfico en la Universidad de California Long Beach. A la fecha, se encuentra estudiando un doctorado en Criminología en la Universidad Miguel Hernández de Elche, España, cuyo objetivo es estudiar los fenómenos criminológicos y su relación con el espacio geográfico.

Es profesor de la cátedra de análisis criminal I y II de la academia de ciencias policiales de Carabineros.

#### Se sugiere citar:

Figueroa Ulloa, O. (2021). Perfilamiento geográfico de agresores sexuales. Análisis de casos. *Revista Cartógrafo.CL 1* (2), pp. 35 - 58.

Nota: Este artículo fue publicado en: Revista Academia de Ciencias Policiales / Volumen 2, Número 2, Año 2020 / pp. 26-57, Santiago, Chile

Bajo Licencia Creative Commons Atribución 4.0 Internacional.